

«تحقیق در چرمگی شکست چدن نشکن» با استفاده از انتگرال J

سید محمد علی بوترابی
استاد

غلامرضا کزاژی
کارشناسی ارشد

دانشکده مواد، دانشگاه علم و صنعت ایران

چکیده

در این پژوهش مقادیر چرمگی شکست (K_{IC}) برای چدن نشکن با ساختار زمینه متفاوت در کربن معادل های مختلف (۳ / ۳.۴ و ۲ / ۳ درصد)، با استفاده از انتگرال J محاسبه شد. جهت حصول ساختارهای مختلف از عملیات حرارتی آنیل، نرماله و آستمپر استفاده شد. آزمایشات بررسی چرمگی شکست گرنش مسطح همچنین براساس استاندارد BS5447 و از نوع خم سه نقطه انجام گرفت. نتایج نشان داد که نمونه های آستمپر شده بالاترین چرمگی شکست را دارند و در کربن معادل ۳ / ۴ % چرمگی شکست نمونه های ریختگی و آنیل شده رقابتی نزدیک با نمونه های آستمپر شده دارند با این وجود در صورتیکه سایر خواص مکانیکی از حمله (سختی، استحکام کششی استحکام تسلیم و ...) در گناه چرمگی شکست مورد نظر باشد، نمونه های آستمپر شده بهترین خواص را ارائه می دهند. همچنین مقایسه نتایج حاصل از آزمایش گرنش مسطح بر اساس استاندارد BS5447 و انتگرال J نشان می دهد که قابلیت اعتماد به اعداد بدست آمده در روش انتگرال J بسیار بالاتر از روش شبیه ۵ درصد ارائه شده در استاندارد BS5447 است.

کلمات کلیدی

چرمگی شکست، انتگرال J، کربن معادل، گرنش مسطح، ریزساختار

Fracture Toughness of Ductile Cast Iran Using J-Integral

S.M.A. Boutorabi
professor

G. Kazazi
Ms. c.

Material Science Department Iran University of Science and Technology

Abstract

The effects of carbon equivalents of 2.3, 3.3 and 4.3% on the microstructure, hardness and fracture toughness of a low alloyed ductile cast iron in as cast, annealed, normalised and austempered conditions have been investigated. Fracture toughness was measured using a plain-strain fracture toughness (k_{Ic}) test and also J-Integral approach.

The results show that the pearlite content increases as the CE decreases from 4.3 to 2.3%. The nodularity and nodule count also decrease with decreasing the CE%. The annealed samples show a predominantly ferritic structure. Iron with 2.3 CE% shows pearlitic microstructure. The austempered microstructure contains bainitic ferrite and retained austenite at all carbon equivalents.

The fracture toughness value (kQ and k_{Ic}) of ductile iron increases with increasing the CE% in all conditions and a maximum value is obtained in austempered condition. The hardness decreases with increasing CE% and an maximum value of 526 HV50 can be obtained at 2.3 CE% in a austempered condition.

The SEM study shows that all the fractures of austempered specimens are ductile in nature whilst all that of normalised condirtion are brittle. Fracture behaviour of 4.3 CE% ductile iron in as cast and annealed conditions are ductile where those of 2.3% are brittle. The iron with 3.3% shows a brittle fracture in as cast condition and a ductile fracture in annealed condition. The results show that J. integral approach can be used in measuring of k_{Ic} , particulary if the k_{Ic} values can not be achieved.

Keywords

Fracture toughness, Microstructure, Carbon equivalent Plain-Strain.

مقدمه

در سال ۱۹۶۸ J.R. Rice و همکارانش روشی به نام روش انتگرال \int را جهت محاسبه مقدار چقرومگی شکست ابداع نمودند. در این روش، کل کار مورد نیاز برای شروع اشاعه ترک اندازه گیری و در نتیجه مقدار شدت تنش محاسبه می شود. Rice نشان داد که مقدار کار مورد نیاز برای شروع اشاعه ترک با سطح زیر منحنی بار جایه جائی شیار متناسب است. این کار "J" به صورت رابطه زیر محاسبه می شود:

$$J = \frac{[(\text{سطح زیر منحنی بار / جایه جائی شیار})^2]}{(B \times b)} \quad (1)$$

این مقدار کار "J" با آهنگ آزاد شدن انرژی بحرانی متناسب است و با استفاده از رابطه (۲) می توان مقدار شدت تنش بحرانی (KIC) را محاسبه نمود.

$$KIC = [(J \times E) / (1 - V)] \quad (2)$$

روش انتگرال \int به دلیل احتساب انرژی آزاد شده، بر خلاف روش LEFM قادر است به راحتی شرایط الاستیک و پلاستیک نوک ترک را در نظر بگیرد. بنابراین این روش LEFM آنالیز تنش الاستیک را در نوک ترک در نظر می گیرد و برای شرایط تغییرات پلاستیکی قبل از اشاعه ترک مناسب است.

مقایسه دو روش مذکور (روش LEFM و J-Integral) را می توان به دقت در شکل (۱) مورد بررسی قرار داد. هر دو روش KIC (E399) و انتگرال \int مقادیر مشخصی از KIC را برای مواد ترد ارائه می دهند (شکل ۱ الف). روش LEFM مقدار LEFM متناسب با ریشه دوم سطح زیر ABC و روش انتگرال \int مقدار KIC متناسب با ریشه دوم سطح زیر 'C'A'B' را بدست می دهد. بنابراین در حالتی که شرایط غیر خطی بر منحنی بار - جایه جائی شیار نامشخص است (شکل ۱ ب)، می توان گفت از آنجا که سطح ABC تقریباً برابر 'C'A'B' است، چقرومگی شکست بدست آمده توسط روش LEFM می تواند بطور نسبی KIC معتری را حاصل کند. برای مواد با چقرومگی شکست بالاتر (شکل ۱ ج) مشکل محسوس تر است، چرا که مقدار باری که باعث اشاعه ترک می شود نامشخص و مبهم است. غیر خطی بودن چنین منحنی هایی را می توان ناشی از تغییر شکل پلاستیک ایجاد شده در نوک ترک دانست. بنابراین استفاده از روش LEFM می تواند باعث یک گمراهی درنتایج و همچنین تخمين بسیار پائین مقدار چقرومگی شکست واقعی نمونه شود. با توجه به شکل ۱ (ج) استفاده از روش (E399) ASTM و شبیه ۵٪ مقدار چقرومگی شکست متناسب است با سطح زیر ABC که با چقرومگی شکست واقعی یعنی سطح "C"BA، از مقدار بسیار کمتری برخوردار است. در این حالت KQ بدست آمده تخمين بسیار پائینی از KIC واقعی است.

در این تحقیق سعی شده است که با اندازه گیری چقرومگی شکست چدن نشکن در کربن معادلهای مختلف مقایسه صحيحي از مقدار اين خاصيت در سه حالت با کربن معادلهای $4/3$ و $2/3$ و $3/3$ ارائه شود و جايگاه هر يك به طور جداگانه و نهايتيا به صورت نسبی بررسی شود. با توجه به تغيير همزمان ريزساختار در اثر عمليات حرارتی متفاوت و در صد کربن معادله مختلف، می توان در شرایط کاری مشخص هر يك از مواد بدست آمده را جهت استفاده در يك سيكل کاري و با توجه به شرایط اقتصادي، انتخاب نمود.

۲- روش آزمایش

سه ذوب با ترکيب شيميايی ارائه شده در جدول (۱-۱) جهت حصول کربن معادلهای $4/3$ و $3/3$ و $2/3$ درصد در کوره القائي 5 کيلوگرمی آماده شده و عمليات کروی سازی با استفاده از 15 NiMg به مقدار $8/2$ درصد و به روش ساندویچی صورت گرفت. عمليات جوانه زائي با استفاده از مواد ارائه شده در جدول (۲-۱) انجام گرفت. سيستم راهگاهی مورد استفاده برای ریخته گری 4 نمونه لا بلوك، منطبق با تئوري سرعت بحرانی بود که در شکل (۲) آورده شده است. 3 نمونه از 4 نمونه لا بلوك ابتدا تحت عمليات آنيل کردن قرار گرفت و سپس همه نمونه های آزمایش چقرومگی شکست کرنش مسطح به مقدار 1 ميلی متر مانده به اندازه واقعی ماشین کاري شدند. سپس نمونه های ماشین کاري شده تحت عمليات نهايی آنيل کردن، نرماله کردن و آستمپر کردن قرار گرفتند و در نهايی همه نمونه ها تحت ماشين کاري نهايی قرار گرفتند. سيكل عمليات آنيل، نرماله و همچنین آستمپر در شکل های (۳) و (۴) آورده شده است.

در ادامه آزمایشات نهائی، نمونه های ریخته شده و عملیات حرارتی شده، تحت آزمایش تعیین سختی و یکرز و چقرمگی شکست کرنش مسطح براساس استاندارد BS5447 قرار گرفت. در این حالت نمونه های آزمایش از نوع خم سه نقطه بود که توسط ماشین هیدرولیکی تحت نیروی استاتیکی قرار گرفت و منحنی بار / جایه جائی شیار توسط یک رسم کننده نمودار در محور $y-z$ رسم شد و از آن، مقدار پارامتر بررسی چقرمگی شکست (K_{Jc} و K_Q) محاسبه شد. محل انتخاب نمونه های آزمایشی بررسی چقرمگی شکست برروی نمونه ریختگی و همچنین ابعای نمونه های آزمایشی در شکل (۵) آورده شده است و در نهایت آزمایشات، متالوگرافی و تهیه عکس از ریزساختار، متالوگرافی کمی تصاویر ریز ساختار و بررسی عکس های SEM تهیه شده از مقطع شکست صورت گرفت.

۲- نتایج

۲-۱- ریز ساختار

ریز ساختار نمونه های ریختگی، نرماله شده، آنیل شده و آستمپر شده در کربن معادل های $\frac{4}{3}$ و $\frac{3}{2}$ و $\frac{2}{3}$ درصد در شکل (۶) آورده شده است. همانطور که مشاهده می شود در نمونه های باکربن معادل $\frac{4}{3}$ درصد با تغییر عملیات حرارتی ریز ساختار نمونه های نیز تغییر می کند به صورتیکه ریز ساختار فریتی ($\frac{95}{100}$ ٪) نمونه های ریختگی در شرایط نرماله شده به حالت پرلیتی درشت دانه و در حالت آنیل شده به صورت کاملاً فریتی ($\frac{100}{100}$ ٪) و در حالت آستمپر شده به صورت فریتی بینیتی و آستنیت باقی مانده (آسنریت) در می آیند.

در نمونه های باکربن معادل $\frac{2}{3}$ درصد ریزساختار پرلیتی فریتی (چشم گاوی) نمونه های ریختگی در اثر عملیات نرماله و آنیل و آستمپر به ترتیب به ریز ساختارهای پرلیتی، فریتی ($\frac{90}{100}$ ٪) و آسفیریت تبدیل می شود.

در نمونه های باکربن معادل $\frac{1}{2}$ درصد ریز ساختار پرلیتی فریتی (نسبت $\frac{90}{100}$ به $\frac{100}{100}$) نمونه های ریختگی به ریزساختارهای پرلیتی ریز دانه، چشم گاوی و آسفیریت به ترتیب برای شرایط نرماله، آنیل و آستمپر، تبدیل می شوند.

۳-۱- متالوگرافی ریزساختار نمونه های آزمایشی

تصاویر متالوگرافی بدست آمده از نمونه های آزمایشی در حالت های ریختگی، آنیل، نرماله و آستمپر شده تحت بررسی متالوگرافی کمی قرار گرفت که در این روش از تکنیک شمارش نقطه ای و مقایسه عکس های ریزساختار نمونه ها با عکس های استاندارد AFS جهت برآورد تعداد کره های گرافیت، درصد کرویت، فاز فریت و پرلیت و ... استفاده شده است. نتایج این بررسی در جدول (۳-۱) آورده شده است.

۳-۲- چقرمگی شکست کرنش مسطح

(Plain-Strain Fracture Toughness) نتایج چقرمگی شکست کرنش مسطح نمونه های ریختگی، نرماله شده، آنیل شده و آستمپر شده با استفاده از منحنی های بار / جایه جائی شیار شکل (۷) و بر اساس استاندارد BS5447 و انتگرال \int محاسبه در جداول (۴-۱) و (۱-۵) آورده شده است. همانطور که مشاهده می شود پارامترهای K_{Jc} و K_Q برای همه نمونه ها در حالت با کربن معادل $\frac{4}{3}$ درصد بالاترین مقدار است. و به طور کلی در مقام مقایسه، نمونه های آستمپر شده بیشترین چقرمگی شکست را داراست.

۳-۳- بررسی عکس های میکروسکپ الکترونی (SEM) از مقطع شکست

پس از انجام آزمایش چقرمگی شکست کرنش مسطح، از مقطع شکست نمونه های آزمایشی عکس SEM تهیه شد که در شکل (۸) آورده شده است. از مشخصات این تصاویر می توان به دو حالت مدل رودخانه ای و وجود چاله های گرافیتی (dimples) اشاره نمود که به ترتیب از ویژگی های شکست ترد و نرم هستند.

بحث و تحلیل نتایج

۴-۱- ریز ساختار

ریز ساختار نمونه های ریختگی در کربن معادل های $\frac{4}{3}$ ، $\frac{3}{2}$ ، $\frac{2}{3}$ به ترتیب فریتی، چشم گاوی و پرلیتی است. با اعمال عملیات حرارتی آنیل، نرماله و آستمپر برروی نمونه های ریختگی ریزساختار زمینه تغییر می کند.

سینیتیک عملیات حرارتی در سه حالت فوق تأثیر عمده‌ای بر روی تعداد کره‌ای گرافیت و مقدار کرویت ندارد. اما آنچه که مشخص است عملیات حرارتی تأثیر عمده خود را ببروی ریزساختار زمینه اعمال می‌کند به صورتیکه عملیات حرارتی آنل، ریزساختار را به سمت فریتی شدن و عملیات حرارتی نرماله کردن ریزساختار زمینه را به سمت پرلیت سوق می‌دهد و در شرایط آستمپر، ریزساختاری متسلک از دو فاز فریت بینیتی و آستنیت باقی مانده حاصل می‌شود.

با تغییر کربن معدن از $2/3$ به $4/3$ درصد، درصد فریت نمونه‌ها در حالت ریختگی و آنل شده افزایش می‌یابد و در حالت آستمپر شده با افزایش کربن معادل آستنیت باقی مانده نیز افزایش می‌یابد.

متالوگرافی کمی ریزساختار نمونه‌ها نشان داد که ریزساختار 100% فریتی، 100% پرلیتی (ریزدانه و درشت دانه) ساختار چشم‌گاوی (فریتی - پرلیتی، پرلیتی - فریتی) و همچنین چدن ADI با مقدار فاز آستنیت باقی مانده متغیر حاصل شده است.

۴-۲. مقطع شکست و نمودارهای بار / جایه جائی شیار

با بررسی عکس‌های SEM تهیه شده از مقطع شکست نمونه‌های آزمایش چقرمگی شکست مشخص می‌شود که دو نوع شکست ترد و نرم اتفاق افتاده است. از مشخصات ظاهری این نوع شکست‌ها می‌توان به مدل رودخانه‌ای شکست ترد و وجود سیاه چاله‌های گرافیتی در شکست نرم اشاره نمود. با انتبايق تصاویر تهیه شده از آزمایش متالوگرافی و عکس‌های SEM مشخص می‌شود که ساختار فریتی و فریت بینیتی به همراه آستنیت باقی مانده دارای شکست از نوع نرم است و ساختارهای پرلیتی و پرلیتی فریتی دارای شکست ترد درون دانه‌ای است.

علت اصلی این امر را می‌توان در دارا بودن خاصیت Necking (۱) در دو ساختار نرمی و فریتی زنیتی دانست که باعث می‌شود شکست از حالت ترد به شکست نرم تغییر یابد.

با بررسی نمودارهای بار / جایه جائی شیار ارائه شده در شکل (۷) به همراه عکس‌های SEM مقطع شکست مشخص می‌شود که هر گاه نمودار بار / جایه جائی شیار به حالت سه‌گوش (Pop - In Triangular Pop) باشد شکست از نوع ترد و در حالتی که نمودار بار / جایه جائی شیار به صورت انحنایار باشد شکست از نوع نرم است.

۴-۳. چقرمگی شکست کرنش مسطح

۴-۳-۱. مقایسه نتایج چقرمگی شکست چدن‌ها با سایر محققان

نتایج به دست آمده در آزمایش چقرمگی شکست نمونه‌های آزمایشی با ضخامت متفاوت اکثر محققان در جدول (۶-۱) آورده شده است.

جدول (۱-۱): ترکیبی شیمیابی ذوب‌های تهیه شده.

کربن معدن	منزیم	گوگرد	نیکل	منگنز	فسفر	سیلیسیم	کربن	درصد کربن ٪	شماره ذوب
$4/3$	$0/036$	$0/011$	$0/79$	$0/089$	$0/021$	$2/88$	$2/27$	یک	
$3/3$	$0/04$	$0/011$	$0/79$	$0/089$	$0/021$	$2/82$	$2/23$	دو	
$2/3$	$0/041$	$0/011$	$0/79$	$0/089$	$0/021$	$2/71$	$1/27$	سه	

جدول (۱-۲): مواد جوانه‌زای مورد استفاده در ذوب‌های با درصد کربن معادل مختلف.

TiAl Si	FeSiSr	ZrSi	درصد مواد جوانه‌زا
درصد کربن معادل			
-	$0/6$	$0/6$	$4/3$
-	$0/6$	$0/6$	$3/3$
$0/6$	$0/6$	$0/6$	$2/3$

همان طور که مشاهده می شود هر گروه از محققان نتایج متفاوتی از گروه محققان دیگری حاصل کرده اند به این صورت که آنقدر تنوع در مقادیر KIC و KQ زیاد است که نمی توان طول ترک مجاز را برابی یک قطعه ریختگی با ترکیب شیمیائی مشخص به صورت یک استاندارد جهانی ارائه داد. علت اصلی این امر را می توان دردو عامل دانست: یکی آنکه ضخامت های نمونه های انتخاب شده در اکثر موارد متفاوت است که می تواند به تنها تأثیر قابل توجهی بر روش مقادیر KIC داشته باشد. دوم اینکه روش اتخاذ شده از طرف محققان باهم متفاوت است برخی به روش کرنش مسطح و برخی دیگر به روش COD، برخی با استفاده از انگرال J و روش پیچش مضاعف مقادیر چرمگی را بدست آورده اند.

جدول (۱-۳) نتایج متالوگرافی کمی ریزاساختار نمونه های آزمایش.

(Austempered)			(Normalized)			(Annealed)			(Ascast)			نمونه های آزمایشی		
متالوگرافی کربن معادل درصد کمی			متالوگرافی کربن معادل درصد فریت %			متالوگرافی کربن معادل درصد پرلیت %			تمدادکره های گرانیت Nodule/mm ²			درصد کرویت %		
۲/۳	۲/۳	۴/۳	۲/۳	۳/۳	۴/۳	۲/۳	۳/۳	۴/۳	۲/۳	۳/۳	۴/۳	نمونه های آزمایشی	نمونه های آزمایشی	نمونه های آزمایشی
-	-	-	-	-	-	۶۰	۹۰	۱۰۰	۱۰	۲۵	۹۵	درصد فریت %	درصد فریت %	درصد فریت %
-	-	-	۱۰۰ ریزدانه	۱۰۰ درشت دانه	۱۰۰ درشت دانه	۴۰	۱۰	-	۹۰	۷۵	۵	درصد پرلیت %	درصد پرلیت %	درصد پرلیت %
۸۰	۹۵	۱۰۰	۸۰	۹۵	۱۰۰	۷۵	۹۵	۱۰۰	۷۰	۹۰	۱۰۰	تمدادکره های گرانیت Nodule/mm ²	تمدادکره های گرانیت Nodule/mm ²	تمدادکره های گرانیت Nodule/mm ²
۸۰	۸۰	۹۰	۱۰۰	۷۰	۸۵	۹۵	۷۵	۹۰	۱۰۰	۸۵	۹۵	درصد کرویت %	درصد کرویت %	درصد کرویت %
۳	۴	۴	۳-	۴	۴	۳	۴	۴	۳	۴	۴	متراژ اندازه کرده ها mm	متراژ اندازه کرده ها mm	متراژ اندازه کرده ها mm

جدول (۱-۴) پارامترهای چرمگی شکست و سختی نمونه های مورد آزمایش (KQ).

سختی VHN	K _Q (Mpa \sqrt{m})	K _{Max} (Mpa \sqrt{m})	$\frac{P_{Max}}{P_Q}$	P _Q (KN)	P _{Max} (KN)	پارامترهای چرمگی شکست	
						شماره نمونه ها	نمونه های آزمایشی
۲۱۹	۳۶/۷۶	۴۰/۴۰	۱/۲۳	۴/۹۸	۶/۱۵	۱ نمونه	نمونه های آزمایشی
۳۱۱	۳۲/۸۵	۳۸/۷۰	۱/۱۸	۴/۱۰	۴/۸۳	۲ نمونه	نمونه های آزمایشی
۴۰۶	۲۷/۱۶	۲۸/۴۸	۱/۰۰	۳/۳	۳/۴۶	۳ نمونه	نمونه های آزمایشی
۱۸۱	۳۳/۹۸	۴۲/۸۷	۱/۲۷	۴/۲۰	۵/۳۰	۱ نمونه	نمونه های آزمایشی
۲۱۱	۳۲/۲۷	۴۶/۴۰	۱/۴۴	۴/۶۸	۶/۷۳	۲ نمونه	نمونه های آزمایشی
۲۵۶	۳۲/۶۵	۳۷/۳۰	۱/۱۴	۴/۷۸	۵/۴۶	۳ نمونه	نمونه های آزمایشی
۳۸۸	۲۸/۰۰	۳۰/۰۳	۱/۰۷	۴	۴/۲۹	۱ نمونه	نمونه های آزمایشی
۴۱۰	۲۷/۶۰	۳۲/۵۰	۱/۱۷	۴/۱۰	۴/۸۳	۲ نمونه	نمونه های آزمایشی
۴۶۵	۲۵/۵۱	۲۷/۸۳	۱/۰۹	۳/۸۵	۴/۲	۳ نمونه	نمونه های آزمایشی
۳۵۱	۵۳/۱۸	۶۵/۹۷	۱/۲۴	۷/۹۰	۹/۸	۱ نمونه	نمونه های آزمایشی
۴۲۵	۴۹/۵۵	۶۱/۵۲	۱/۲۴	۷/۷۰	۹/۵۶	۲ نمونه	نمونه های آزمایشی
۵۲۶	۴۵/۳۷	۵۳/۴۸	۱/۱۸	۶/۵۴	۷/۷۱	۳ نمونه	نمونه های آزمایشی

* شماره های ۱، ۲، ۳ بدتریب مریبوط به کربن معادل ۴/۳٪، ۲/۳٪، ۳/۳٪٪ می باشد.

جدول (۱-۵) نتایج چرمگی شکست بدست آمده با روش انتگرال J (KIC).

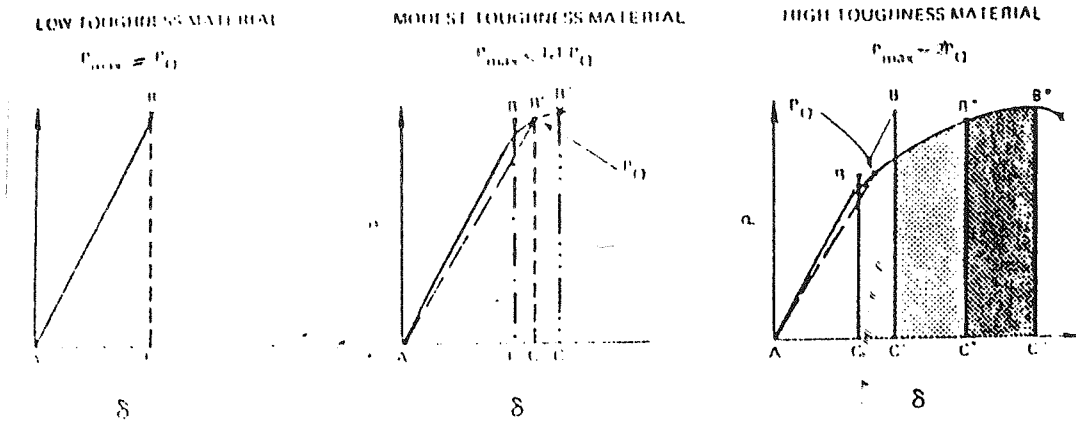
آسترپر شده (Austempered)			نرمال شده (Normalized)			آنیل شده (Annealed)			فقط ریختگی (Ascast)			نمونه ها		
%۲/۳	%۳/۳	%۴/۳	%۲/۳	%۳/۳	%۴/۳	%۲/۳	%۳/۳	%۴/۳	%۲/۳	%۳/۳	%۴/۳	کربن سیادل	چرمگی شکست	پارامتر های شکست
۲۵/۶۸	۳۱/۹	۳۶/۸	۱۴/۱	۱۶/۵	۱۶/۴	۲۴/۰	۲۷/۵	۳۲/۶	۱۳/۵	۱۸/۶	۳۱/۰۰	k_{J_c} (Mpa/m)		
۳۰/۴۷	۴۷/۲۷	۶۲۸۰	۹۲۶	۱۲۷۱	۱۲۴۰	۲۷۷۳	۳۵۱۰	۴۹۲۶	۸۴۳/۹	۱۶۰۴	۴۴۰۵	J_{I_c} (N/M)		
۲۶	۳۰	۳۷	۱۴	۱۶	۱۸	۱۹	۱۶	۲۲	۱۹	۲۱	۲۲	$\delta^{(1)}$ ($10^{-7}cm$)		
۳۵	۴۵	۵۷	۲۰	۲۱	۲۳	۳۹	۴۰	۵۷	۲۰	۲۶	۵۵	$\delta^{(2)}$ ($10^{-7}cm$)		

(۱) - استفاده شروع نرگ

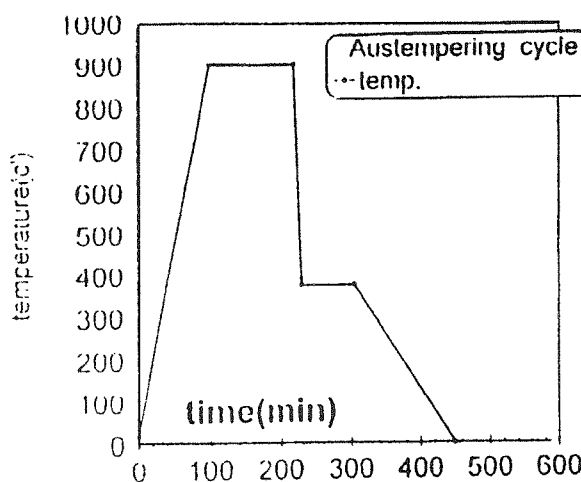
(۲) - استفاده نرگ ناپایدار

جدول (۱-۶): مقایسه چرمگی شکست چدن های مورد آزمایش توسط محققان مختلف و این تحقیق

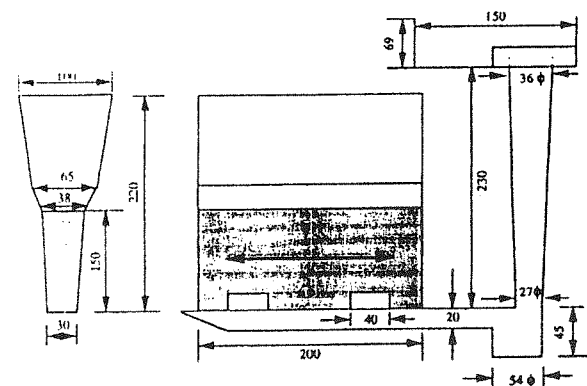
نوع چدن	مرجع	شماره	سختی برنبیل (ویکرز)	استحکام Mpa	ضخامت ریخت cm	ضخامت نمونه cm	k _{Ic} mpav/m (k _{Jc})	k _O mpav/m
نشکن فریتی		۴	۱۵۰	۲۸۵/۴۵	-	۲/۱۰	۲۶/۲۲	۴۰/۰۷
		۳	۱۴۵	۲۹۷/۱۷	-	۲/۱۷	۴۰/۰۷	۲۰/۴۲
		۱۴	-	۲۷۹/۲۴	۱/۹۰	۰/۹۵	۲۰/۴۲	۲۲/۹۴
		۲۰	-	-	-	۲/۵۴	۴۱/۰۶	۴۱/۰۶
		۷	-	-	-	۴/۴۹	۰/۹۹	۹۱/۱۲
	بن تحقیق	۱۰	۱۳۶	۳۱۹/۹۲	۱۱/۹۳	۹/۹۰	۳۶/۷۶	(۳۱/۰۵)
نشکن پرلیتی		۲	۲۴۰	۲۷۳/۷۰	-	۲/۱۱	۴۱/۸۳	۴۱/۸۳
		۳	۲۱۰	۴۰۱/۲۸	-	۲/۱۷	۲۲/۵۹	۲۰/۰۹
		۱۴	-	۳۷۷/۱۵	۱/۹۰	۰/۹۵	۳۳/۸۱	۳۳/۸۱
		۷	-	-	-	۴/۴۹	۹۲/۸۹	۹۲/۸۹
	بن تحقیق	۱۵	۲۱۲	۳۹۹/۹۱	۱۱/۹۳	۹/۹۱	(۱۲/۰۵)	۲۷/۱۶
		۴	-	(۴۰۶)	-	۳/۰۰	۰/۹۵	۳۳/۲
نشکن کرویت بلا		۴	-	-	-	۰/۹۵	۵۲/۸	۵۲/۸
	بن تحقیق	۴	۲۱۰	۴۰۱/۲۸	-	۲/۰۰	۳۶/۵۸	۳۶/۵۸
	بن تحقیق	۴	-	(۴۰۶)	-	۳/۰۰	۴۵/۳۷	۴۵/۳۷
پیشنهاد کرویت باین		۲۰	-	-	-	۰/۹۵	۲۱/۹۶	۶/۳۶
مالیل فریتی		۱۴	-	-	-	۱/۹۰	۰/۹۵	۱۶/۱۴
خاکستری فریت		۱۹	-	-	-	۷/۶۲	۰/۹۹	۱۹/۴۳
خاکستری پرلیتی		۱۹	۲۱۲	۲۴۶/۸۴	۲/۰۴	۰/۹۹	۰/۹۹	۲۳/۸۲
		۱۶	-	-	-	۲/۰۴	۰/۹۹	۱۳/۹۴
		۱۶	-	-	-	۰/۹۹	۰/۹۹	۲۱/۹۶
سفید آبیازی Rolls		۱۷	۵۸۵	-	۶۷/۰۵	۰/۹۹	۰/۹۹	۲۲/۶
		۱۷	۶۴۵	-	۶۷/۰۵	۰/۹۹	۰/۹۹	۱۹/۲ - ۲۱/۱۲
سفید آبیازی ساخت	به ساخت	۱۸	۴۱۷-۷۸۰	-	۲/۰۴	۱/۲۷		



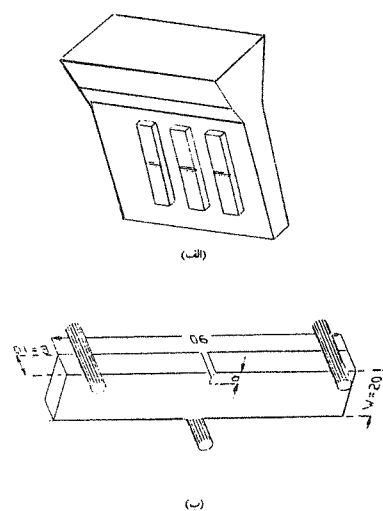
شکل (۱) نمای منحنی های بار / جایه جانبی شیار برای ۳ نوع از مواد
الف) مواد با چقرمگی اندک (ب) مواد با چقرمگی متوسط (ج) مواد با چقرمگی بالا.



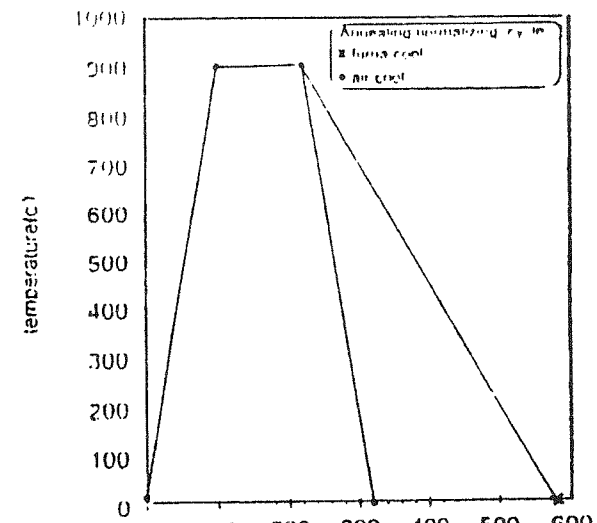
شکل (۲) سیکل عملیات حرارتی آستمپر کردن نمونه های با کربن
معادل $3/392/4/3$ درصد در گوره حمام نمک.



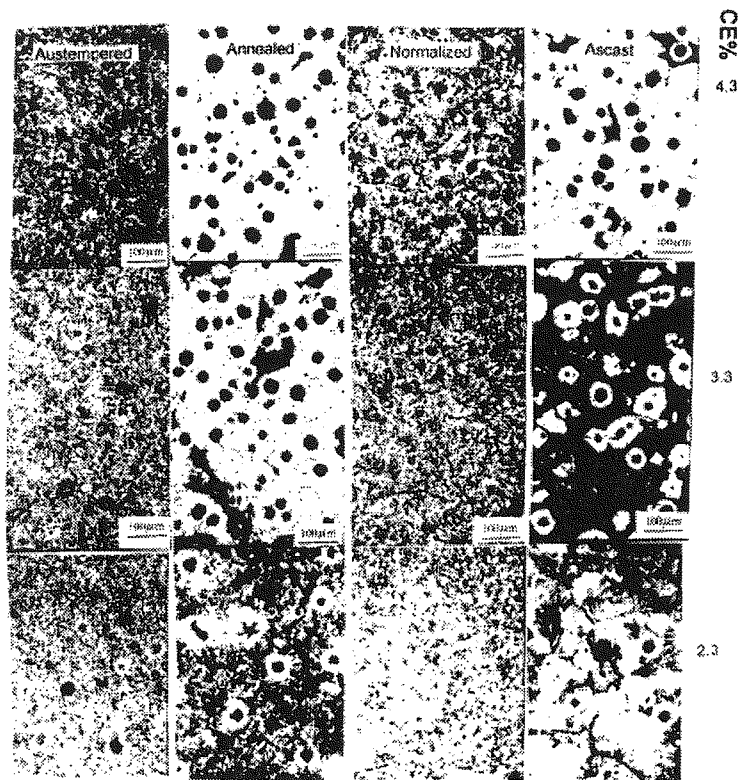
شکل (۲) سیستم راهگاهی استفاده شده جهت ریخته گری قطعات
بلوک (این سیستم براساس تنوری سرعت بحرانی طراحی
شده است و اندازه ها بر حسب میلی متر است).



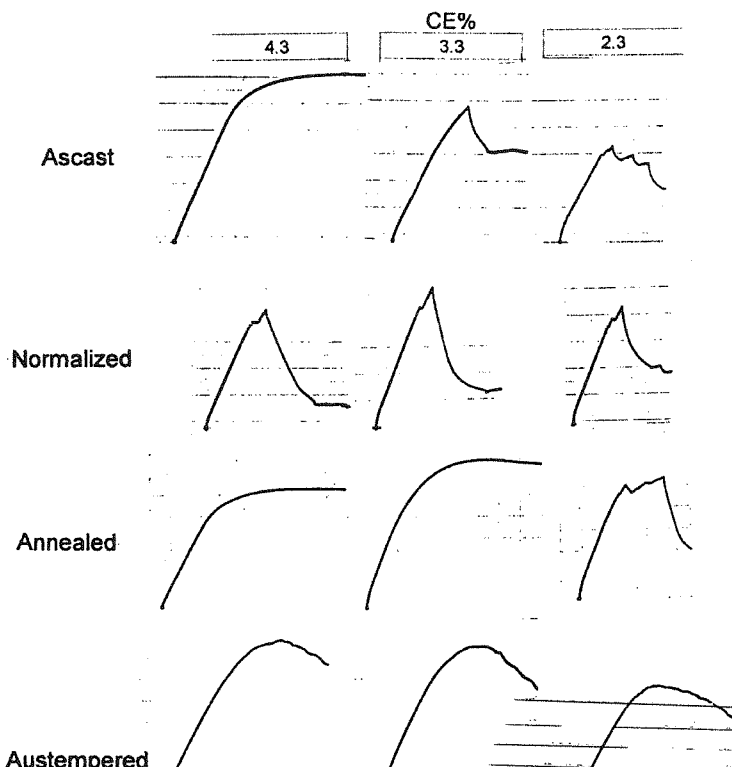
شکل (۵) محل انتخاب نمونه های آزمایش چقرمگی شکست بر روی
بلوک ریخته شده (ب) ابعاد نمونه های آزمایش چقرمگی شکست
کوشش مسطح (اندازه ها بر حسب میلی متر است).



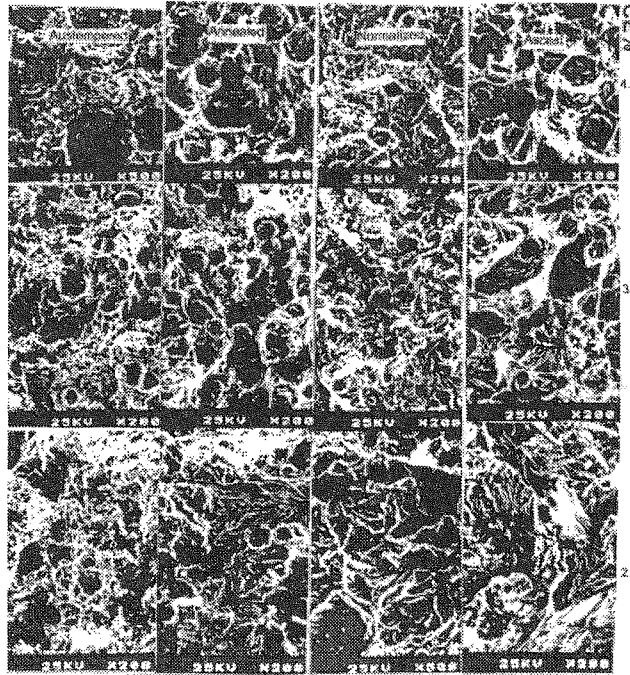
شکل (۳) سیکل عملیات حرارتی آنیل کردن و نرماله کردن برای
نمونه های با کربن معادل $3/392/4/3$ درصد.



شکل (۶) ریزساختار نمونه های ریختگی، نرماله، آنیل آستمپر شده با درصد کربن معادل $100 \times / 3 و ۳ / ۲$ درصد محلول اج نیتال 2% و بزرگنمایی $100 \times / 3$



شکل (۷) نمودارهای بار // جایه جانی شیار برای نمونه های (الف) ریختگی (ب) نرماله (ج) آنیل شده (د) آستمپر شده با کربن معادل های $3 / ۳ و ۳ / ۲$ درصد.



شکل (A) تصاویر میکروسکوپ الکترونی از مقطع شست نمونه های آزمایشی ریختگی، نرماله شده آنیل شده آستمپر شده با کربن معادل های ۳ / ۲ و ۴ / ۳ درصد.

۵- نتیجه گیری کلی

- ۱- چرمگی شکست چدن های نشکن با کربن معادل بالا بیشتر از چرمگی شکست چدن های نشکن با کربن معادل پائین است.
- ۲- سختی چرمگی شکست چدن های نشکن آستمپر شده در بالاترین مقدار نسبت به سایر نمونه ها قرار دارد.
- ۳- سختی چدن های نشکن با کربن معادل پائین بیشتر از سختی چدن های نشکن با کربن معادل بالاست.
- ۴- چدن های نشکن آنیل شده و ریختگی در شرایطی که فقط خاصیت چرمگی شکست مورد نظر باشد به ترتیب رقابت نزدیکی را با چدن های نشکن آستمپر شده دارند.
- ۵- در مواردیکه علاوه بر خاصیت چرمگی شکست خواصی چون استحکام تسلیم، استحکام کششی، سختی و ... نیز در طراحی قطعه لحاظ شود چدن نشکن آستمپر شده پیشنهاد می شود.
- ۶- روش انتگرال J در محاسبه چرمگی شکست چدن نشکن در مواردیکه KQ برابر با KIC نباشد، روش مناسبی تشخیص داده شد.

مراجع

- [1] Campbell, J, "Castings", Butterworth Heinemann, 1991, P.P. 274-278.
- [2] Nanstad, R.K., Wozala, F.J., Loper, C.R., Proc. 2nd. Int. Symposp. Metallurgy of Cast Iron, Genve, 1974.
- [3] Nanstad, R.K., Wozala, F.J., Loper, C.R., AFS Transactions 83, P.245, 1975.
- [4] Nanstad, R.K., Wozala, F.J., Loper, C.R., "Fracture Toughness of nodular cast Irons", AFS Transactions, 1974, P. 473-486.
- [5] Dorazil, E., Holzman, M., AFS world conference on ADI, March 12-14, 1991.
- [6] Boutorabi, S.M.A., Young, J.M., Kondic, V., "Structure and impact properties of Austempered Spheroidal Graphite unalloyed Aluminum cast Iron", AFS world conference on ADI, March 12-14, 1991, P. 516-549.
- [7] Holdsworth, S.R., Jolley, G., "Fracture Toughness Tests on pearlitic spheroidal Graphite cast Iron", The British Foundrymen, vol. 67, Mar. 1974,p. 77-82.
- [8] Eldoky, L., Voigt, R.C., "Fracture of Ferritic Ductile cast Iron", TAFS, 1985.
- [9] McEad, H.E., Bradley, W.L., "Fracture Toughness studies of Ductile cast Iron using a J-Integral approach" TAFS. 1980, p 265-276.
- [10] Komalsu, S., Shiota, T., Nakamura, K., "Influences of Silicon phosphorus and carbon contents on transition Behaviours of Fracture Toughness in Ferritic spheroidal Graphite cast Iron.